

تهیه نانوپودر نیترید سیلیسیم تحت دو مرحله آسیاب کاری مکانیکی و عملیات حرارتی

محمد خواجه لکزای^{*}، سعید رضا بخشی و غلامحسین برهانی

دانشکده مهندسی مواد، دانشگاه صنعتی مالک اشتر

(دریافت مقاله: ۱۳۹۳/۶/۱۹ - دریافت نسخه نهایی: ۱۳۹۳/۱۰/۱۷)

چکیده – در این پژوهش اثر متغیرهای مهم مانند زمان آسیاب کاری، دمای عملیات حرارتی، مدت زمان اعمال گرمایش و سرعت گرمایش در تهیه پودر نیترید سیلیسیم به روش آسیاب کاری مکانیکی بررسی شد. از میکروپودر سیلیسیم به عنوان پیش‌ماده و از نیتروژن به عنوان گاز اتمسفری و هم‌چنین ماده اولیه استفاده شد. در ابتدا پودر سیلیسیم در محیط نیتروژن به مدت ۳۰ ساعت آسیاب کاری و در مرحله بعد در دمای ۱۳۰ درجه سانتی‌گراد در جریان گاز نیتروژن عملیات حرارتی شد. فازهای تشکیل شده در این روش، توسط پراش پرتو ایکس و ریخت و اندازه ذرات با میکروسکوپ الکترونی رویشی بررسی شدند. تحلیل فلورسانس پرتو ایکس برای بررسی میزان خلوص نیترید سیلیسیم تولید شده استفاده شد. تحلیل پراش پرتو ایکس، فازهای آلفا و بتا نیترید سیلیسیم را نشان داد و هم‌چنین میانگین اندازه ذرات توسط میکروسکوپ الکترونی رویشی حدود ۷۰ نانومتر به دست آمد. نمونه بهینه در شرایط ۳۰ ساعت آسیاب کاری، عملیات حرارتی تا دمای ۱۳۰ درجه سانتی‌گراد و با سرعت اعمال ۲۲ درجه سانتی‌گراد در دقیقه تهیه شد. تحلیل فلورسانس پرتو ایکس نیز خلوص بیش از ۹۸ درصد را نشان داد.

واژگان کلیدی: نیترید سیلیسیم، آسیاب کاری مکانیکی، نانوپودر، مدت زمان آسیاب کاری، نیتراسیون

Synthesis of Silicon Nitride by Mechanical Alloying and Heat Treatment

M. Khajelakzay^{*}, S. R. Bakhshi and G.H. Borhani

Department of Materials Engineering, Malek Ashtar University of Technology, Shahin Shahr, Iran

Abstract: In this study, synthesis of silicon nitride by mechanical alloying and the effects of important parameters of milling time and heat treatment temperature, time and rate are presented. Silicon micro powder and nitrogen gas were used as precursor materials. Synthesized phases, morphology and particle size were investigated by X-ray diffraction pattern (XRD) and Field

* مسئول مکاتبات پست الکترونیکی: lakzay@mut-es.ac.ir

emission scanning electron microscopy (FE-SEM), respectively. X-ray fluorescence analysis (XRF) was used for silicon nitride purity investigation. The optimum sample was produced at 30 h milling time, heat treatment at 1300 °C and 22 °C/min heating rate conditions. X-ray fluorescence analysis showed more than 98% purity.

Keywords: Silicon nitride, Mechanical alloying, Nanopowder, Milling time, Nitration



اکسی نیترید سیلیسیم و کریستوبالیت از جمله ناخالصی‌های موجود در پودرهای نیترید سیلیسیم به شمار می‌روند. اکسی نیترید سیلیسیم در طی مراحل ابتدایی عملیات حرارتی و در حضور اکسیژن تشکیل می‌شود. اگر فشار جزیی گاز اکسیژن بالاتر از 17°C باشد از نظر ترمودینامیکی فاز کریستوبالیت و در غیر این صورت فاز اکسی نیترید سیلیسیم پایدار است [۶-۴].

اکسی نیترید سیلیسیم با توجه به واکنش (۲) در حین فرایند تفجوشی شکل می‌گیرد و با توجه به سختی بالای آن قابل مقایسه با نیترید سیلیسیم است [۷].



وجود فاز ناخالصی آهن در ترکیب با تشکیل فاز مذاب سیلیسید آهن، باعث کاهش نقطه ذوب سیلیسیم شده، بدین طریق تشکیل فاز بتا را سرعت می‌بخشد. از عوامل تأثیرگذار بر این فرایند می‌توان به فشار گاز نیتروژن، ناخالصی‌های موجود در پودر مخصوصاً آهن، ناخالصی‌های گازی مانند هیدروژن و اکسیژن، دما و زمان فرایند اشاره نمود.

در پژوهشی دیگر از عناصری مانند کلسیم، ایتریم، منیزیم، سریوم، تربیوم و لاتانیوم به منظور افزایش سرعت نیتراسیون و تشکیل فاز نیترید سیلیسیم استفاده شده است [۶-۴]. با افزودن این عناصر در بالاتر از 700°C سانتی گراد نیتراسیون سیلیسیم افزایش می‌یابد. با توجه به نوع هر عنصر افزودنی نیز ریخت (مورفولوژی) محصول نیز متفاوت است.

روش آسیاب‌کاری مکانیکی که شامل مخلوط کردن و آبیارش از استفاده از انرژی بالا است استفاده گسترده‌ای در زمینه متالورژی و همچنین سرامیک پیدا کرده است. اولین گزارش‌ها از تشکیل ساختارهای بلوری نانومتری با

۱- مقدمه

تا به حال پژوهش‌های بسیاری روی سرامیک‌های نیترید سیلیسیم انجام شده است و این مواد در کاربردهای ساختاری متفاوتی هم مورد استفاده قرار گرفته‌اند. از جمله این کاربردها می‌توان به اجزای موتورها، قالب‌های اکستروژن، ابزار برش و کاربردهای نظامی به علت خواص برتر فیزیکی و مکانیکی حاصل از آنها اشاره نمود [۱]. نیترید سیلیسیم در اواسط قرن نوزدهم شناخته شد. استوکیومتری و فازهای نیترید سیلیسیم در اوایل دهه ۱۹۵۰ توسط دانشمندان آلمانی مشخص شد. ساختار شیمیایی نیترید سیلیسیم به صورت Si_3N_4 و به چهار شکل بلوری α ، β ، γ و δ وجود دارد. دو نوع α و β از شناخته شده‌ترین و اصلی‌ترین پلی‌مورف‌های^۱ نیترید سیلیسیم به شمار می‌آیند که دارای ساختار بلوری شش وجهی‌اند.^۲ هم‌چنین نوع γ دارای ساختار مکعبی^۳ است و ساختار δ هنوز هم مبهم است [۲، ۳].

برای تهیه پودر نیترید سیلیسیم از روش‌های مختلفی استفاده شده است. از جمله این روش‌ها می‌توان به رسوب‌دهی شیمیایی از فاز گازی، سنتز خود احتراقی، احیا کربوترمیک سیلیکا، سل-ژل، نیتراسیون مستقیم پودر سیلیکا و آسیاب‌کاری مکانیکی نام برد. در روش نیتراسیون مستقیم، پودر سیلیسیم در دمای بین 1200°C تا 1500°C سانتی گراد تحت گاز نیتروژن با فشار بالا قرار می‌گیرد. پژوهش‌های انجام شده نشان می‌دهد که پودر نیترید سیلیسیم با فازهای آلفا و بتا در ابعاد میکرونی در حدود دمای 1300°C سانتی گراد تشکیل می‌شود. پس از مخلوط کردن مواد اولیه و درگیر شدن مولکول‌های نیتروژن با ذرات سیلیسیم و جذب آنها بر روی این ذرات، با افزایش دما طی عملیات حرارتی واکنش نیتراسیون سیلیسیم رخ می‌دهد (واکنش ۱):

در این پژوهش از آسیاب سایشی مستقر در آزمایشگاه متالورژی پودر دانشگاه صنعتی مالک اشتر (ساخته شده در محل آزمایشگاه) استفاده شد. محفظه این آسیاب از جنس فولاد زنگ نزن است.

در پروسه آسیاب کاری ابتدا پودر سیلیسیم و گلوله های فولادی با نسبت وزنی ۱ به ۲۰ درون محفظه آسیاب قرار داده شده، مقدار ۰/۵ درصد وزنی اسید استئاریک به عنوان عامل کنترل کننده فرایند اضافه شد. ترکیب مورد نظر در مدت زمان های ۲۰ و ۳۰ ساعت با سرعت ۳۶۵ دور در دقیقه در دمای اتاق و تحت گاز نیتروژن با شارش ۲۰۰ میلی لیتر در دقیقه، آسیاب کاری شد. پودر آسیاب کاری شده به منظور حذف گازها و رطوبت جذب سطحی، قبل از عملیات حرارتی در دمای ۹۰ درجه سانتی گراد و تحت خلاء گاز زدایی شد.

در مرحله بعد، پودر حاصل از فرایند آسیاب کاری به منظور تشکیل فاز نیترید سیلیسیم، تحت عملیات حرارتی قرار داده شد. پودر آسیاب شده به مدت ۱ ساعت در دمای ۱۳۰ درجه سانتی گراد با سرعت گرمایش ۱۰ درجه سانتی گراد در دقیقه تحت جریان گاز نیتروژن و یا نیتروژن / هیدروژن، عملیات حرارتی شد. برای عملیات حرارتی و انجام فرایند نیتراسیون پودر سیلیسیم آسیاب کاری شده و همچنین جلوگیری از نفوذ اکسیژن به سیستم، از کوره تحت گاز نیتروژن استفاده شد. کوره مورد استفاده از نوع لوله ای با بیشینه دمای ۱۴۰ درجه سانتی گراد است که از گاز نیتروژن نیز با سرعت ۲۰۰ میلی لیتر در دقیقه به عنوان گاز محافظ استفاده شد. همچنین از گاز هیدروژن به همراه گاز نیتروژن برای واکنش با اکسیژن ناخالصی گاز نیتروژن یا حاصل از واکنش های احتمالی استفاده شده است. پودر حاصل از عملیات حرارتی توسط هاون به خوبی نرم شد تا کلوجه های حاصل از عملیات حرارتی نرم شوند.

برای افزایش میزان خلوص گاز مورد استفاده (قبل از ورود گاز به کوره) و جلوگیری از تشکیل فازهای اکسیدی از یک سیستم تصفیه دو جزئی شامل پودر مس (جادب اکسیژن در دمای حدود ۴۰۰ درجه سانتی گراد) و سیلیکا ژل (جادب

روش آسیاب کاری مکانیکی به حدود سال ۱۹۸۷ مربوط می شود [۸، ۹]. در طی فرایند آسیاب کاری فرایندهایی مانند تغییر شکل، تکه تکه شدن، شکست، جوش سرد، نفوذ، غیربلوری (آمورف) شدن و واکنش های گاز جامد پی درپی اتفاق می افتد. تمامی این فرایندها بر چگونگی و مقدار نیتروژن جذب شده در طی فرایند آسیاب کاری موثر است. تشکیل فاز سیلیسیم غیربلوری حاوی نیتروژن در طی آسیاب کاری شامل سه مرحله زیر است [۱۰، ۷]:

- واکنش بین نیتروژن و ذرات سیلیسیم از طریق جذب فیزیکی، جذب شیمیایی و تجزیه مولکول های گاز روی سطح ذرات سیلیسیم،
- حرکت نیتروژن به سمت مرزدانه های سیلیسیم و یا نابه جایی ها و عیوب مختلف و
- غیربلوری شدن سیلیسیم به علت فشار بالای برخورد یا ریز شدن بلورها

با توجه به نیاز به پژوهش و بررسی انواع روش های ساخت به صرفه و پر بازده، در این پژوهش سعی شده است با به کار گیری روشی مناسب، نانو پودر نیترید سیلیسیم با استفاده از یک روش دو مرحله ای تولید شود. این دو مرحله شامل آسیاب کاری مکانیکی و سپس عملیات حرارتی پودر تحت گاز نیتروژن است. در مرحله اول سعی می شود که با فعال کردن ذرات سیلیسیم در محیط نیتروژن و درگیر نمودن ذرات سیلیسیم با نیتروژن، بتوان در مرحله عملیات حرارتی فاز نیترید سیلیسیم را با خلوص مناسب تهیه نمود.

۲- مواد و روش پژوهش

در این پژوهش برای تهیه ترکیب نیترید سیلیسیم از روش آسیاب کاری مکانیکی استفاده شده است. مواد مورد استفاده عبارت از پودر سیلیسیم تجاری (خلوص بیش از ۹۹ درصد وزنی، اندازه ذرات کمتر از ۶۵ میکرومتر تولید شرکت پودر خراسان)، اسید استئاریک، گاز نیتروژن و هیدروژن آزمایشگاهی است.

جدول ۱- شرایط آزمایش‌های مختلف انجام شده برای تولید پودر Si_3N_4

کد نمونه	زمان آسیاب کاری (h)	حرارتی ($^{\circ}\text{C}$)	دماهی عملیات	مدت زمان در دمای بیشینه (min)	سرعت اعمال (گرمای $^{\circ}\text{C}/\text{min}$)	گاز آتمسفر کوره
SN1	۲۰	۱۳۰۰		۶۰	۱۴	N_2
SN2	۲۰	۱۳۰۰		۱۲۰	۱۴	N_2
SN3	۲۰	۱۳۰۰		۶۰	۱۰/۶	N_2
SN4	۲۰	۱۳۰۰		۶۰	۲۲	۷۵% N_2 +۲۵% H_2
SN5	۳۰	۱۳۰۰		۶۰	۲۲	۵۰% N_2 +۵۰% H_2
SN6	۳۰	۱۳۰۰		۶۰	۲۲	۷۵% N_2 +۲۵% H_2
SN7	۳۰	۱۳۰۰		۶۰	۲۲	۷۵% N_2 +۲۵% H_2

شده است. همان‌طور که مشخص است پودر مورد استفاده هیچ‌پیک ناخالصی از خود نشان نمی‌دهد. شکل ۱-ب مربوط به نمونه SN1 است که در شرایط مدت زمان آسیاب کاری ۲۰ ساعت، با سرعت اعمال گرمای ۱۴ درجه سانتی‌گراد در دقیقه تا دمای ۱۳۰۰ درجه سانتی‌گراد و مدت زمان ماندگاری ۶۰ دقیقه در این دما و محیط نیتروژن تولید شده است. همان‌طور که مشخص است مقدار زیادی از سیلیسیم به صورت واکنش نکرده باقی‌مانده است، و فقط مقدار کمی از آن به $\beta\text{-Si}_3\text{N}_4$ تبدیل شده است. فاز اکسیدی $\text{Si}_2\text{N}_2\text{O}$ نیز به مقدار قابل توجهی تشکیل شده است. اکسی نیترید سیلیسیم یک ترکیب در سیستم $\text{SiO}_2\text{-Si}_3\text{N}_4$ است که دارای خواصی جالبی همچون مقاومت به اکسایش عالی، استحکام بالا و چگالی پایین است. اکسی نیترید سیلیسیم می‌تواند از طریق تفجوشی واکنشی فاز مایع از یک مخلوط دارای غلظت مولکولی مساوی $\text{Si}_3\text{N}_4+\text{SiO}_2$ و یا هم‌چنین از طریق نیتراسیون فاز گازی مخلوط Si و SiO_2 ساخته شود [۱۱].

اما فاز $\alpha\text{-Si}_3\text{N}_4$ که فاز اصلی و محصول مورد نظر این پژوهش است به مقدار بسیار کمی تشکیل شده است. در نمونه SN2 سعی شد که با افزایش مدت زمان عملیات حرارتی در دمای بیشینه، مقدار بیشتری از سیلیسیم نیتریده شود. همان‌طور که در شکل ۱-ب نیز دیده می‌شود، مقدار بیشتری از سیلیسیم به علت افزایش مدت زمان عملیات حرارتی تا

روطیت) استفاده شد. شرایط مختلف نمونه‌های پودری تولید شده در جدول ۱ آمده است. الگوهای پراش پرتو ایکس با استفاده از دستگاه پراش سنج (XRD)^۳ فیلیپس مدل CIII Rigaku D-Max با استفاده از پرتو نگاری (Cu-K α , $\lambda=0.15406 \text{ nm}$) فیلتر شده با Ni، با ولتاژ ۴۰ کیلوولت، جریان ۴۰ میلی‌آمپر، زاویه پراش ۲۰ از ۱۰ تا ۸۰ درجه و نرخ روبش ۰/۰۶ درجه در دقیقه به منظور تشخیص ساختارهای بلوری مختلف ثبت شد. فازشناسی الگوهای پراش سنجی پرتو ایکس توسط نرم‌افزار X'Pert HighScore انجام شد. تصاویر میکروسکوپی الکترونی رویشی برای بررسی مورفوژوئی نمونه‌ها با تشکیل تصاویر الکترون ثانویه^۴، توسط دستگاه میکروسکوپ الکترونی رویشی (FESEM، TESCAN- MIRAS TESCAN و گسیل میدانی^۵ ZIESS S-4160) به ترتیب با ولتاژهای شتاب‌دهنده ۱۵ و ۲۰ کیلوولت تهیه شد. از آن‌جا که پودرهای نیترید سیلیسیم رسانایی الکتریکی ندارند، پوشش‌دهی طلا (قبل از رویت زیر میکروسکوپ) به وسیله دستگاه لایه‌گذاری انجام شد.

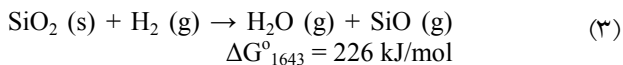
۳- نتایج و بحث

شکل ۱ الگوهای پرتو ایکس پودر سیلیسیم عملیات حرارتی نشده و عملیات حرارتی شده در شرایط مختلف را نشان می‌دهد. شکل ۱-الف مربوط به ماده اولیه سیلیسیم استفاده

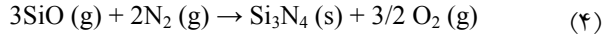
افزایش یابد [۱۲]. از سوی دیگر با افزودن گاز هیدروژن به گاز نیتروژن، مقدار اکسیژن ناچالصی این گاز در سیستم تصفیه جذب شده، بدین صورت فاز $\text{Si}_2\text{N}_2\text{O}$ کاهش یافته است.

گزارش شده که افزودن هیدروژن به اتمسفر نیتروژن می‌تواند باعث افزایش نیتراسیون کلی شود [۱۳]. در گزارش‌های دیگر بیان شده است که احتمال افزایش خواص مکانیکی به واسطه حضور هیدروژن در اتمسفر نمونه‌های نیترید سیلیسیم وجود دارد [۱۴-۱۶].

پژوهش بر روی عملکرد هیدروژن تایید می‌کند که به احتمال قوی، هیدروژن به حذف لایه سیلیکای محافظه از سطح ذرات سیلیسیم شتاب می‌دهد و واکنش به صورت رابطه 3 است [۱۳، ۱۷].



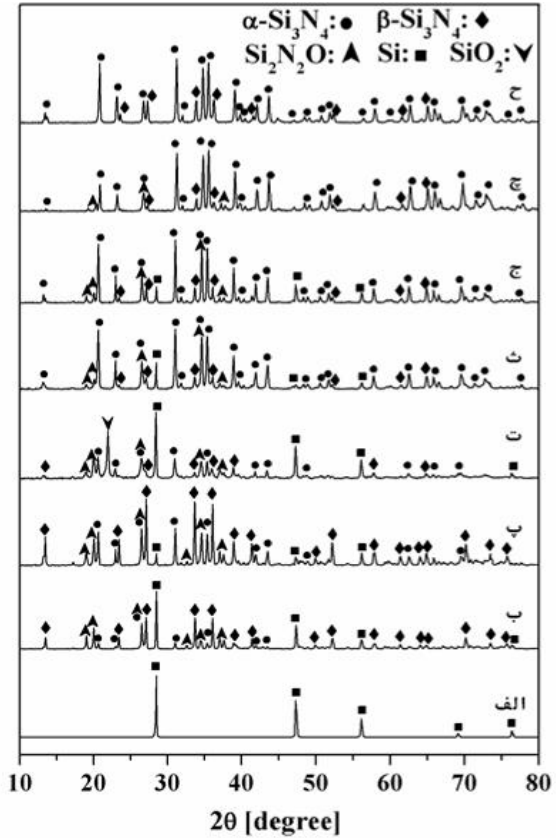
در کنار واکنش 3 ، یک واکنش نیتراسیون کمکی از بخار نیترید سیلیسیم وجود دارد (رابطه ۴).



ΔG° مربوط به این واکنش مقداری بزرگ و مثبت است (۵۴۵ کیلو ژول بر مول در دمای 1700 کلوین) و به عنوان حداقل نیاز لازم، فشارهای اولیه اکسیژن باید کم باشد (-16 ${}^{\circ}\text{C}$ اتمسفر) تا این واکنش به صورت منبع قوی‌تری از نیترید سیلیسیم عمل کند [۱۳].

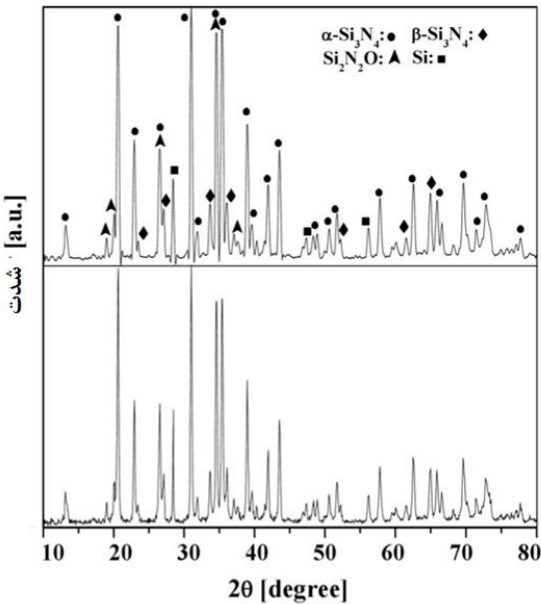
حضور مونو اکسید سیلیسیم به همراه پودر سیلیسیم نیتریده اجتناب‌ناپذیر است، چرا که برای تامین این گاز سه منبع وجود دارد که شامل احیاء اولیه لایه سیلیکا، واکنش سیلیسیم با اکسیژن موجود در گاز فرایند نیتراسیون و واکنش با بخار آب موجود در گاز فرایند نیتراسیون می‌شود.

مولسون و همکارانش [۱۱]، سهم احتمالی واکنش 4 را به طور ویژه بررسی نموده اند. آن‌ها سعی کردند که اهمیت عدم حضور شار مناسبی از اکسیژن را از سطح نیتراسیون بررسی کنند. بیان شده است که در فشارهای جزئی تعادلی، هیدروژن بسیار موثرتر می‌تواند در فرایند نیتراسیون نقش داشته باشد. در غیاب هیدروژن، به احتمال قوی واکنش 4 نقش خیلی کمی در



شکل ۱- الگوهای پرتو ایکس پودرهای (الف) ماده اولیه سیلیسیم، (ب) SN3 ، (ت) SN1 ، (پ) SN2 ، (ث) SN7 ، (ج) SN5 ، (ز) SN6 و (ح) SN4

۱۲۰ دقیقه به $\beta\text{-Si}_3\text{N}_4$ تبدیل شده است، اما همچنان مقدار فاز $\alpha\text{-Si}_3\text{N}_4$ کم بوده، مقدار فاز $\text{Si}_2\text{N}_2\text{O}$ نیز افزایش یافته است. کاهش سرعت گرمادهی تا $10/6$ درجه سانتی گراد در دقیقه در نمونه SN3 نشان داد که مقدار قابل توجهی از سیلیسیم به صورت واکنش نکرده باقی مانده، فاز جدید SiO_2 (کریستوبالیت) در نمونه تشکیل شده است. این رفتار احتمالاً به علت ایجاد زمان کافی برای واکنش اکسایش سیلیسیم در دماهای کمتر از 1300 درجه سانتی گراد بوده است. فاز کریستوبالیت در دماهای کمتر از 1300 درجه سانتی گراد به صورت شبه پایدار است. شرایط تولید نمونه SN4 طوری در نظر گرفته شد که با افزایش سرعت گرمادهی تا 22 درجه سانتی گراد در دقیقه از تشکیل فاز کریستوبالیت جلوگیری شود و همچنین با افزایش دمای عملیات حرارتی میزان فاز $\alpha\text{-Si}_3\text{N}_4$

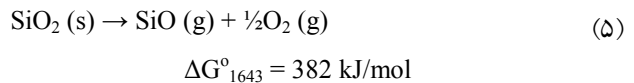


شکل ۲- اثر فرایند گاززدایی قبل از عملیات حرارتی مربوط به نمونه SN4

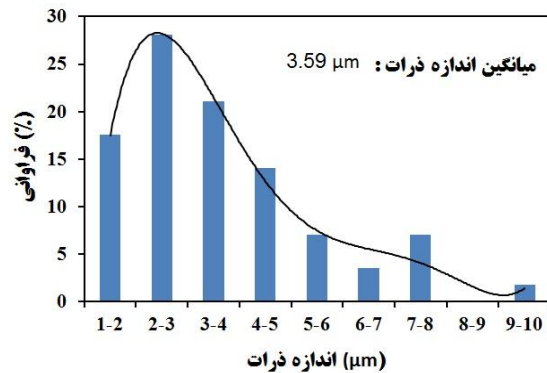
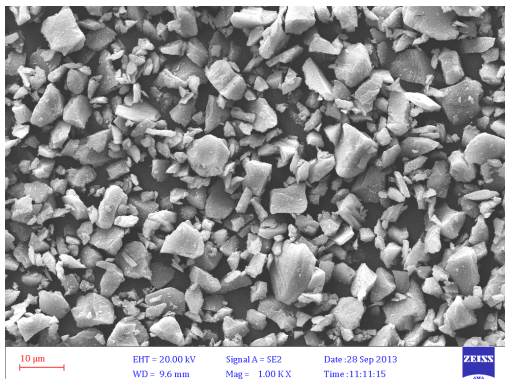
در شکل ۳ پودر سیلیسیم مورد استفاده در فرایند آسیاب کاری نشان داده شده است. همان‌طور که مشخص شده است پودر مورد استفاده دارای میانگین اندازه ذرات ۳/۶ میکرومتر است. همان‌طور که در شکل ۴ دیده می‌شود، نمونه SN4 با آسیاب کاری به مدت ۲۰ ساعت و عملیات حرارتی در ۱۳۰ درجه سانتی گراد دارای ذرات ریزتر با میانگین اندازه ذرات ۲۰/۸ نانومتر اما متصل به هم است. با افزایش مدت زمان آسیاب کاری به ۳۰ ساعت دیده می‌شود (شکل ۵) که ذرات دارای میانگین اندازه ذرات ریزتر و همچنین اتصال کمتری بین ذرات هستند. وجود هر دو فاز α -Si₃N₄ و β -Si₃N₄ کاملاً مشخص است به طوری که ذرات میله‌ای شکل به ذرات شبیه کروی به α -Si₃N₄ نسبت داده می‌شود. این تصاویر با الگوهای پراش پرتو ایکس نیز هم خوانی دارد که نشان دهنده فاز اصلی α -Si₃N₄ هستند. در شکل ۶ توزیع اندازه ذرات فاز آلفا و همچنین توزیع اندازه قطرهای فاز بتا نیترید سیلیسیم نشان داده شده است. میانگین اندازه ذرات فاز آلفا ۱۲۲/۹ نانومتر و میانگین قطرهای فاز بتا ۱۱۲/۱۴ نانومتر بدست آمد. همان‌طور که دیده می‌شود میانگین قطرهای دارای توزیع

فرایند نیتراسیون دارد و این‌که نیتراسیون بخار سیلیسیم تشکیل دهنده فاز آلفا نیترید سیلیسیم است. از آنجایی که هدف این پژوهش تهیه قطعه‌های نیترید سیلیسیم است بنابراین تهیه پودر با بیشترین درصد فاز آلفا مطلوب‌تر است.

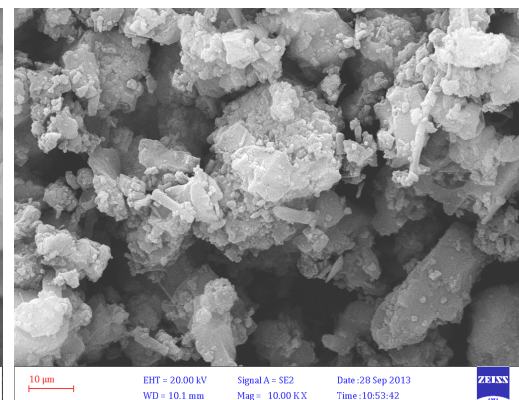
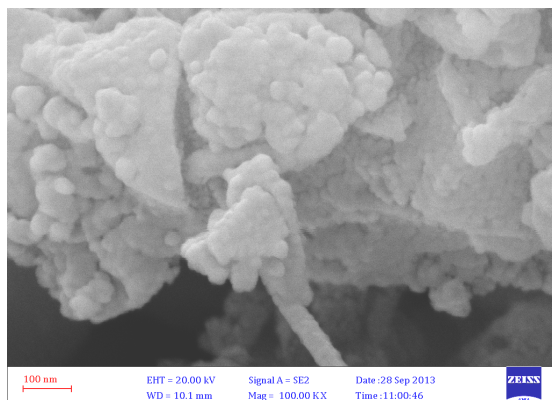
همان‌طور که در شکل ۱-ج نشان داده شده است (نمونه SN5)، با افزایش مدت زمان آسیاب کاری تا ۳۰ ساعت شدت پیک‌های فاز α -Si₃N₄ افزایش و همچنین شدت پیک‌های سیلیسیم باقی مانده کاهش یافته است. در نمونه SN6 با افزایش Si₂N₂O فاز اکسیدی ۷۵٪ کاهش ۵۰٪ به ۷۵٪ مشاهده می‌شود. برای تهیه نمونه SN7، در مسیر عبور گاز ۷۵٪ N₂+۲۵٪ H₂ قبل از کوره عملیات حرارتی، یک سیستم تصفیه دو جزئی تعییه شد. بدین صورت که ابتدا گاز از یک تونل دارای پودر مس در دمای ۴۰ درجه سانتی گراد عبور کرد که باعث جذب اکسیژن موجود توسط مس شد. در ادامه گاز از یک تونل دارای سیلیکاژل عبور می‌کند که در این قسمت مقادیر ناچیز بخار آب موجود نیز جذب می‌شود. همان‌طور که در شکل ۱-ح مشاهده می‌شود استفاده از این سیستم باعث حذف پیک‌های Si₂N₂O شده است. هر فرایند عملیاتی که به حذف لایه سیلیکایی از سطح سیلیسیم-نیتروژن سرعت دهد، به مرحله اول نیتراسیون شتاب می‌دهد [۱۳]. پیش گرمایش در خلاء و یا در یک گاز خنثی در بازه ۱۰۰۰ درجه سانتی گراد را می‌توان در این دسته‌بندی قرار داد. به طوری که تغییر مستقیم توسط تجزیه تحت فشارهای کم اکسیژن محتمل‌تر است (واکنش ۵).



به منظور حذف گازهای جذب شده همانند اکسیژن از ذرات پودر آسیاب کاری شده، قبل از عملیات حرارتی نمونه پودری با استفاده از سیستم خلاء گاززدایی شد که الگوی پراش پرتو ایکس آن در شکل ۲ آمده است. همان‌طور که مشاهده می‌شود فرایند گاززدایی اثری بر روی پیک‌های پرتو ایکس نداشته است.

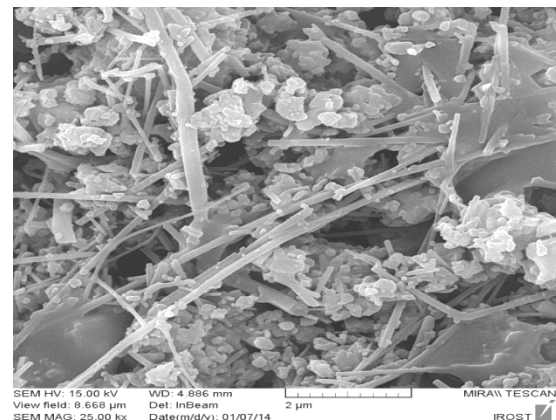


شکل ۳- تصویر میکروسکوپی الکترونی روبشی ماده اولیه سیلیسیم مورد استفاده و منحنی توزیع اندازه ذرات آن



شکل ۴- تصاویر میکروسکوپی الکترونی روبشی نمونه SN4 در دو بزرگنمایی متفاوت

افزایش داشته است که این امر توسط الگوهای پراش پرتو ایکس نیز تایید می‌شود (شکل‌های ۱-ج و ۱-ح). علاوه بر افزایش مشخص فاز آلفا در نمونه SN7 نسبت به نمونه SN6، میانگین قطر ذرات میله‌ای فاز بتا نیز کاهش یافته است و به حدود $69/13$ نانومتر رسیده است. همچنین مقدار فاز آلفا افزایش یافته است. درحالی که فاز آلفا با توجه به یکنواخت نبودن اندازه ذرات آن، میانگین اندازه ذرات آن به مقدار $137/10$ نانومتر افزایش یافته است. تحلیل طیف سنجی تفکیک انرژی عناصر سیلیسیم، اکسیژن و نیتروژن را نشان می‌دهد. فلز آهن نیز به عنوان ناخالصی وارد شده از فرایند آسیاب کاری مشاهده می‌شود. در پژوهش‌های گذشته، به منظور تسریع واکنش نیتراسیون و بهویژه برای تجزیه لایه اکسیدی روی ذرات سیلیسیم از افروزنی‌های فلزی و یا فلوریدهای فلزی بهره جسته‌اند [۱۳]. به نظر می‌رسد که بسیاری از این کاتالیست‌ها (فلزات) با پوشش سیلیکایی واکنش می‌دهند، احتمالاً توسط



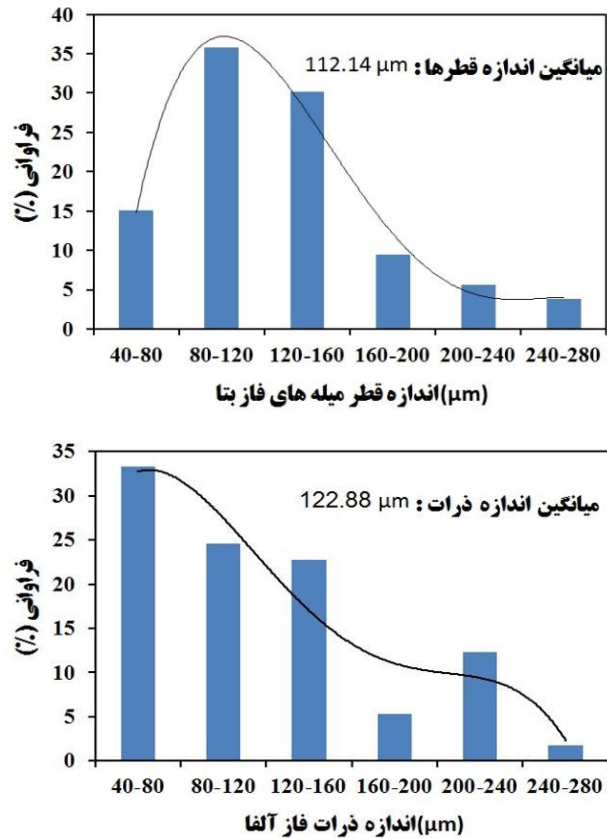
شکل ۵- تصویر میکروسکوپی الکترونی روبشی نمونه SN6

یکنواختی است در صورتی که در مورد فاز آلفا این گونه نیست. در شکل ۷ تصاویر میکروسکوپی الکترونی روبشی مربوط به نمونه SN7 نشان داده شده است. همان‌طور که از تصاویر مشخص است، با توجه با ریخت (موفولوژی) متفاوت فازهای آلفا (شبه کروی) و بتا (میله‌ای)، مقدار فاز آلفا نسبت به بتا

جدول ۲- میزان عناصر موجود در نمونه SN7

حاصل از روش فلورسانس پرتو ایکس

نوع عنصر	غلظت (%W/W)
Si	۹۸,۵۵
Fe	۰,۶۳
Ca	۰,۲۵۷
Al	۰,۱۷۰
Cr	۰,۰۶۵
K	۰,۰۶۲
Ni	۰,۰۶۴
Cu	۰,۰۵۴
Mg	۰,۰۵۰
S	۰,۰۲۰
Zn	۰,۰۱۱
LOI	۰,۰۰۰
جمع کل	۹۹,۹۳



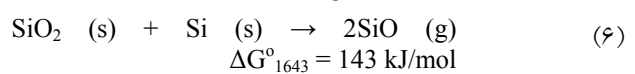
شکل ۶- توزیع اندازه ذرات فاز آلفا و قطرهای فاز بتا

۴- نتیجه گیری

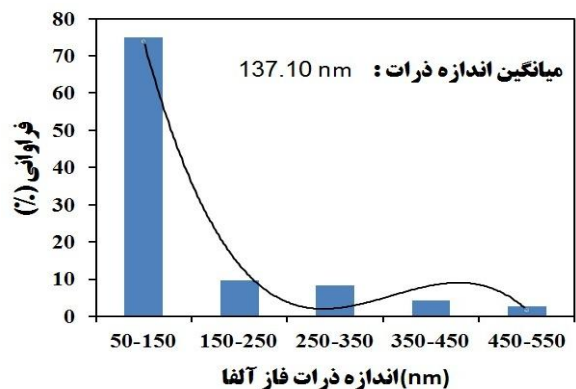
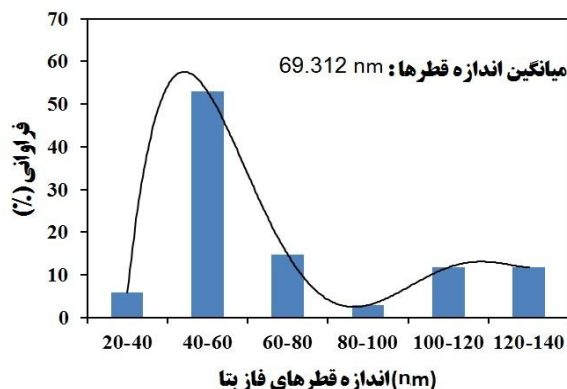
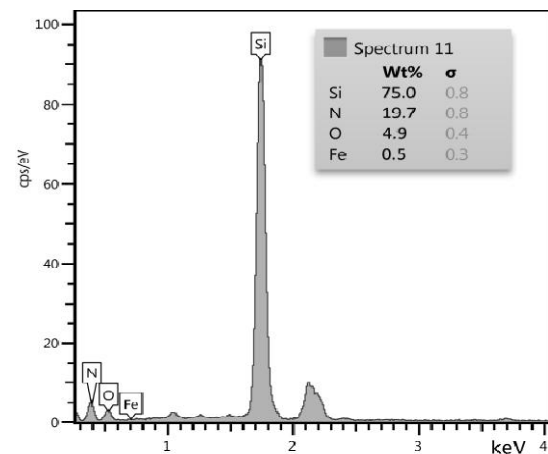
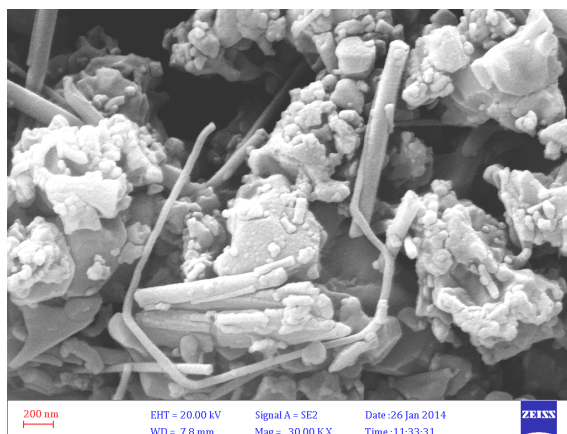
در این پژوهش نانوپودر نیترید سیلیسیم به روش آسیاب کاری سایشی تهیه شد. با توجه به ارزیابی های ساختاری و ریزساختاری که روی نمونه ها انجام شد، نمونه بهینه تولید شده (با خلوص بیش از ۹۵٪)، با ۳۰ ساعت آسیاب کاری، عملیات حرارتی تا دمای ۱۳۰۰ درجه سانتی گراد و با سرعت اعمال گرمای ۲۲ درجه سانتی گراد در دقیقه به دست آمد. نمونه بهینه دارای متوسط اندازه ذرات ۷۰ نانومتر و با ریخت نزدیک به کروی در مورد فاز آلفا و میله ای شکل در مورد فاز بتا است. از آنجایی که کاربرد اصلی این پودر تهیه قطعات تفجوشی شده نیترید سیلیسیم است، این شرایط به عنوان حالت بهینه در نظر گرفته شد.

نانوپودر نیترید سیلیسیم به روش آسیاب کاری سایشی، در مدت زمان ۳۰ ساعت آسیاب کاری و دمای عملیات حرارتی ۱۳۰۰ درجه سانتی گراد تهیه شد. این نانوپودر از خواص مطلوب ریزساختاری، ساختاری و گرمایی برخوردار است. آزمون

تبخیر به صورت مونوکسید سیلیسیم از سطح مشترک $\text{Si}-\text{SiO}_2$ باعث احیا و تخریب زودتر می شود (واکنش ۶).



برای بررسی میزان درصد خلوص و همچنین نوع و مقدار ناخالصی های پودر Si_3N_4 از تحلیل فلورسانس پرتو ایکس استفاده شد. نتایج حاصل از این آزمایش برای نمونه SN7، در جدول ۲ آمده است. همان طور که گفته شده است عنصر اصلی سیلیسیم با مقدار ۹۸/۵۵ درصد وزنی است. ناخالصی های اصلی موجود نیز عبارت از آهن، کلسیم و آلومینیوم هستند. آهن موجود می تواند از سیستم آسیاب کاری به نمونه وارد شده باشد. ناخالصی های کلسیم و آلومینیوم نیز به ماده اولیه سیلیسیم مصروف می شود. عنصر تشکیل دهنده دیگر ترکیب نیترید سیلیسیم، توسط روش فلورسانس پرتو ایکس قابل شناسایی نیست.



شکل ۷- تصویر میکروسکوپی الکترونی روبشی نمونه SN7 به همراه طیف‌سنجی تفکیک انرژی و منحنی‌های توزیع اندازه ذرات فازهای آلفا و بتا

سیلیسیم به کمک پراش پرتوی ایکس نشان داد که فازهای تشکیل شده، به صورت آلفا و بتا دارای ساختار هگزاگونال‌اند. تحلیل فلورسانس پرتو ایکس نیز برای بررسی میزان خلوص نیترید سیلیسیم تولید شده استفاده شد.

ریخت‌شناسی به کمک میکروسکوپ الکترونی روبشی (SEM)^۷ نشان داد که نانو ذرات نیترید سیلیسیم، با متوسط اندازه ذرات ۷۰ نانومتر و ریخت شبکه کروی و میله‌ای و با توزیع یکنواخت تشکیل شده است. بررسی ساختار بلوری نانوپودر نیترید

واژه‌نامه

1. polymorphs
2. hexagonal
3. cubic
4. X-ray diffraction
5. secondary electron
6. field emission scanning electron microscope
7. scanning electron microscope

مراجع

1. Medvedovski, E., "Ballistic Performance of Armour Ceramics: Influence of Design and Structure. Part 1," *Ceramics International*, Vol. 36, pp. 2103-15, 2010.
2. دهدشتی م., تهییه نانو پودرهای سیالونی به روش سل-ژل، دانشگاه تربیت مدرس، ۱۳۸۸.
3. Peng, H., "Spark Plasma Sintering of Si_3N_4 -Based Ceramics", Doctoral Dissertation, Stockholm University, Sweden, 2004.

4. Kim, Y.H., Park. J. and Yang, H., "Synthesis of Silicon Nitride Nanowires Directly from the Silicon Substrates", *Chemical Physics Letters*, Vol. 372, pp. 269-74, 2003.
5. Wang, F., Qin, X., Jin, G. and Guo, X., "Temperature-Controlled Synthesis of Si_3N_4 Nanomaterials via Direct Nitridation of Si Powders", *Physica E: Low-dimensional Systems and Nanostructures*, Vol. 42, pp. 2033-5, 2010.
6. Pavarajarn, V., Vongthavorn, T. and Praserthdam, P., "Enhancement of Direct Nitridation of Silicon by Common Metals in Silicon Nitride Processing", *Ceramics International*, Vol. 33, pp. 675-80, 2007.
7. Song, J. W., Lee, I., Hong, S. J. and Myung Koo, J., "Refinement Behavior of Scrap Silicon by Mechanical Milling", *Current Nanoscience*, Vol. 10, pp. 441-444, 2014.
8. Suryanarayana, C., "Mechanical Alloying and Milling", *Progress in Materials Science*, Vol. 46, pp. 1-184, 2001.
9. Yin, J., Yao, D., Xia, Y., Zuo, K. and Zeng, Y., "The Effect of Modified Interfaces on the Mechanical Property of β -Silicon Nitride Whiskers Reinforced Cu Matrix Composites", *Journal of Alloys and Compounds*, Vol. 615, pp. 983-988, 2014.
10. Ward, T.S., Chen, W., Schoenitz, M., Dave, R.N. and Dreizin, E.L., "A Study of Mechanical Alloying Processes Using Reactive Milling and Discrete Element Modeling", *Acta Materialia*, Vol. 53 pp. 2909-2918, 2005.
11. Moulson, A., "Reaction-Bonded Silicon Nitride: Its Formation and Properties", *Journal of Materials Science*, Vol. 14, pp. 1017-51, 1979.
12. Boyer, S., Moulson, A., "A Mechanism for the Nitridation of Fe-Contaminated Silicon", *Journal of Materials Science*, Vol. 13, pp. 1637-46, 1978.
13. Dervišbegović, H. and Riley, F., "The Role of Hydrogen in the Nitridation of Silicon Powder Compacts", *Journal of Materials Science*, Vol. 16, pp. 1945-55, 1981.
14. Mangels, J.A., "Effect of $\text{H}_2\text{-N}_2$ Nitriding Atmospheres on the Properties of Reaction-Sintered Si_3N_4 ", *Journal of the American Ceramic Society*, Vol. 58, pp. 354, 1975.
15. Jones, B. and Lindley, M., "Reaction Sintered Silicon Nitride. II- The Influence of Nitrogen Gas Flow on Strength and Strength/Density Relationships", *Journal of Materials Science*, Vol. 17, pp. 1288-95, 1976.
16. Lindley, M., Elias, D., Jones, B. and Pitman, K., "The Influence of Hydrogen in the Nitridation Gas on the Strength, Structure and Composition of Reaction-Sintered Silicon Nitride", *Journal of Materials Science*, Vol. 14, pp. 70-85, 1979.
17. Dawson, W. and Moulson, A., "The Combined Effects of Fe and H_2 on the Kinetics of Silicon Nitridation", *Journal of Materials Science*, Vol. 13, pp. 2289-90, 1978.